

## تحلیل اجزاء محدود غیرخطی تنشهای ترمولاستیک دیسک دوار FGM با درنظر گرفتن وابستگی خواص مواد به دما

محمد آزادی<sup>۱</sup>

مهرنوش دمیرچلی<sup>\*۲</sup>

\* نویسنده مسئول: damirchi@kvoushco.com

### چکیده

در این مقاله، تحلیل غیرخطی تنشهای ترمولاستیک شعاعی و محیطی یک دیسک توپر ساخته شده از جنس مواد FGM انجام شده است. برای این منظور، از روش اجزاء محدود استفاده شده است. در روش فوق، المان‌های یکبعدی مرتبه دو (با سه نقطه گره) به کار رفته‌اند. شرایط مرزی هندسی و تنشی، به شکل عدم وجود فشار خارجی و در نتیجه صفر بودن تنش شعاعی در لایه بیرونی دیسک، و جابه‌جایی صفر در مرکز آن تعریف می‌شود. توزیع دما، به صورت یک منحنی درجه دوم فرض شده است. تغییرات خواص مواد، شامل مدول الاستیسیته، ضریب پواسون و ضریب انبساط خطی حرارتی، با استفاده از تابعی توانی بر حسب تغییرات شعاع دیسک و همچنین، وابستگی آن‌ها به دما، مدل‌سازی شده‌اند. یک مثال عددی آورده شده است که در آن جابه‌جایی‌های شعاعی، تنشهای ترمولاستیک شعاعی و محیطی به ازای توان‌های مختلفی ( $N$ ) از قانون توانی و سرعت‌های زاویه‌ای متفاوت بر حسب شعاع دیسک ارائه گردیده‌اند. نتایج نشان می‌دهند که با افزایش هر دو پارامتر  $N$  و سرعت زاویه‌ای دیسک، مقادیر جابه‌جایی و تنش، افزایش می‌یابند. در انتهای مقاله، وابستگی و عدم وابستگی خواص به دما مورد بررسی قرار گرفته است.

**واژه‌های کلیدی:** دیسک دوار، روش اجزاء محدود، FGM، تنش ترمولاستیک، وابستگی خواص به دما، تحلیل غیرخطی

۱- دانشجوی دکتری مکانیک - دانشگاه آزاد واحد علوم و تحقیقات

۲- دانشجوی دکتری مکانیک - دانشگاه صنعتی شریف

برای دیسک دوار FGM را ارائه داده‌اند. در این تحقیق پارامترهای مربوط به مواد در جهت ضخامت تغییر می‌کند. در نهایت بهینه‌سازی بر اساس توزیع تنش‌های شعاعی و محیطی به دست آمده، انجام پذیرفته است. حسینی و همکارش با روش شبه تحلیلی، تنش‌های ترموالاستیک دیسک‌های دوار کامپوزیتی را بررسی نموده‌اند [۱۸]. زنکور [۱۹]، توزیع تنش‌ها را در دیسک‌های کامپوزیتی ساخته شده از FGM، به روش تحلیلی، محاسبه کرده است. بیات و همکارانش [۲۰]، تنش‌های ترموالاستیک دیسک‌های دوار FGM را مورد بررسی قرار داده‌اند. آنها در مقاله خود، از تئوری تغییر شکل مرتبه اول برشی استفاده کرده‌اند.

در این مقاله، تحلیل غیرخطی تنش‌های ترموالاستیک شعاعی و محیطی یک دیسک دوار از جنس مواد FGM و با استفاده از روش اجزاء محدود انجام پذیرفته است. دیسک فوق، با به کارگیری از المان‌های یک بعدی مرتبه دو مشبندی شده است. تغییرات خواص مواد به وسیله یک تابع توانی بر حسب تغییرات شعاع دیسک و همچنین با در نظر گرفتن وابستگی آن‌ها به دما، مدل شده‌اند. این خواص شامل مدول الاستیسیته، ضریب پواسون و ضریب انبساط خطی حرارتی می‌باشند. برای مواد FGM به کار رفته، از ماده فولاد ضدزنگ، به عنوان فلز و همچنین از ماده زیرکونیا، به عنوان سرامیک استفاده گردیده است. با حل یک مثال عددی، نتایج به صورت نمودارهایی بر حسب شعاع دیسک دوار نشان داده شده‌اند. در این مثال، نمودارهای جابه‌جایی شعاعی، تنش‌های ترموالاستیک شعاعی و محیطی نیز به ازای توانهای مختلفی (N) از قانون توانی و سرعت‌های زاویه‌ای متفاوت دیسک دوار FGM ارائه گردیده‌اند. تاثیر وابستگی و عدم وابستگی خواص به دما، در توزیع تنش‌های ترموالاستیک نیز مورد بررسی قرار گرفته است.

## ۲- روابط حاکم بر رفتار مواد FGM

مواد FGM ترکیبی از فلز و سرامیک هستند که در محیط‌هایی با دمای بالا به کار برده می‌شوند و در نتیجه خواص آنها به دما وابسته است. خواص ساختاری سرامیک و فلز باید به صورت تابعی از دما بیان شوند که از جمله این

### ۱- مقدمه

مطالعات اخیر بر روی مواد کاربردی جدیدی که FGM<sup>۱</sup> نامیده می‌شوند نشان می‌دهد که این مواد قابلیت مقاومت در دماهای بسیار بالا و تحمل تغییرات دمای زیاد بین دو سطح خود را دارا می‌باشند. تفکر در مورد این گونه مواد در سال ۱۹۸۴ به وسیله داشمندان ستدای ژاپن آغاز گردید. این تحقیقات به منظور مهیا کردن موادی صورت گرفت که در ساختارهای فضایی، بدنه‌های هوایپما یا جت‌ها و همچنین در رآکتورهای فوزیون هسته‌ای مورد استفاده قرار می‌گیرند [۳-۱].

مواد FGM ترکیبی از مواد مختلفی مانند مواد سرامیکی و یا فلزات می‌باشند که از لحاظ میکروسکوپی خواص ماده هموژن و یا همگن را ندارند. تغییرات پیوسته در خواص میکروسکوپی این مواد عاملی است که باعث تفاوت این با مواد دیگر کامپوزیتی می‌شود [۴]. معمولاً تغییرات مربوط به پارامترهای موادی، به صورت تابعی توانی یا نمایی در جهت ضخامت و یا شعاع دیسک در نظر گرفته می‌شود.

دیسکهای چرخان یکی از مهمترین اجزای سازه‌ای در توربوماشینها و سیستمهای دارای فلاکویل در انواع خودروها می‌باشند. در تحقیقات مختلف برای حل این مسئله از فرضهای تنش یا کرنش صفحه‌ای استفاده شده که در این مقاله حالت تنش صفحه‌ای در نظر گرفته شده است [۱۳-۵]. لیزا و همکارش [۱۰] و درست است جین و همکارانش [۱۱]، توزیع تنش در دیسک دوار را بر اساس تغییرات ضرایب الاستیسیته در جهت شعاعی، بهینه‌سازی کرده‌اند. ژو و همکارش [۱۲ و ۱۳]، یک روش تحلیلی برای دیسک دوار ارائه کرده‌اند. در مقاله فوق، ضرائب الاستیسیته، تابعی از مختصات محیطی در نظر گرفته شده است. رامو و همکارش [۱۴]، تاثیر تنش طولی روی تنش‌های درون صفحه‌ای را مطالعه و میدان تنش‌های الاستیسیته شبه سه‌بعدی را ارائه کرده‌اند. چن و همکارش [۱۵]، مسئله پوسته استوانه‌ای چرخان را با در نظر گرفتن نیروی گریز از مرکز و تاثیرات شتاب کربولیس را حل نموده‌اند. مین و همکارش [۱۶]، تغییر شکل‌های یک دیسک ساخته شده از مواد FGM متقاضی بررسی کرده‌اند. در مقاله فوق، از نیروهای جسمی صرف نظر شده و پارامترهای الاستیسیته در جهت ضخامت متغیر در نظر گرفته شده است. دینگ و همکارانش [۱۷]، یک روش تحلیلی

همچنین تغییر مکان به مختصات محیطی ( $\theta$ ) وابستگی نخواهد داشت و فقط تابعی از شعاع می‌باشد. در ضمن، به دلیل تقارن تنش برشی ( $\tau_{r\theta}$ ) صفر بوده اما تنش‌های محیطی وجود دارند. در این صورت، رابطه تعادل برای دیسک دواری که با سرعت زاویه‌ای ثابت می‌چرخد، به صورت زیر خواهد بود [۲۲]:

$$\frac{d\sigma_r}{dx} + \frac{\sigma_r - \sigma_\theta}{r} + \rho r \omega^2 = 0 \quad (5)$$

در این رابطه،  $r, \rho, \omega, \sigma_r, \sigma_\theta$  به ترتیب، تنش محیطی، تنش شعاعی، سرعت زاویه‌ای، دانسیته و شعاع دیسک می‌باشند. باید توجه داشت که از نیروی حجمی در اثر وزن صرف نظر شده است.

رابطه تنش‌ها بر اساس کرنش‌ها به صورت زیر است:

$$\sigma_r = \frac{E}{1-\nu^2} (\varepsilon_r + \nu \varepsilon_\theta - (1-\nu) \alpha \Delta T) \quad (1-6)$$

$$\sigma_\theta = \frac{E}{1-\nu^2} (\varepsilon_\theta + \nu \varepsilon_r - (1-\nu) \alpha \Delta T) \quad (2-6)$$

رابطه کرنشها و تغییر مکانها نیز به فرم زیر می‌باشند:

$$\varepsilon_r = \frac{du}{dr} \quad (1-7)$$

$$\varepsilon_\theta = \frac{u}{r} \quad (2-7)$$

تنشها را نیز می‌توان بر حسب تغییر مکانها به صورت زیر نوشت:

$$\sigma_r = \frac{E}{1-\nu^2} \left( \frac{du}{dr} + \nu \frac{u}{r} - (1-\nu) \alpha \Delta T \right) \quad (1-8)$$

$$\sigma_\theta = \frac{E}{1-\nu^2} \left( \frac{u}{r} + \nu \frac{du}{dr} - (1-\nu) \alpha \Delta T \right) \quad (2-8)$$

$$\Delta T = T - T_\infty \quad (3-8)$$

با قراردادن تنشها از رابطه (۸) در رابطه تعادل (۵)، معادله

دیفرانسیل زیر برای تغییر مکان شعاعی به دست می‌آید:

$$\frac{d}{dr} \left\{ \frac{E}{1-\nu^2} \left( \frac{du}{dr} + \nu \frac{u}{r} - (1-\nu) \alpha \Delta T \right) \right\} + \frac{E}{r(1+\nu)} \left( \frac{du}{dr} - \frac{u}{r} \right) + \rho r \omega^2 = 0 \quad (9)$$

#### ۴- معادلات اجزاء محدود

با استفاده از تقریب کانتورویچ، داریم [۲۳]:

$$\{u(r)\} = [N(r)] \{U^e\} \quad (10)$$

خواص می‌توان مدل الاستیستیه، ضربیت هدایت گرمایی، ضربیت انبساط طولی و ظرفیت گرمایی را نام برد.

$$P = P_0 \left( \frac{P_{-1}}{T} + 1 + P_1 T + P_2 T^2 + P_3 T^3 \right) \quad (1)$$

که ثوابت  $P_0, P_1, P_2, P_3, P_{-1}$  ثوابتی هستند که متناسب با خواص ماده می‌باشند. به منظور مدل کردن خواص این مواد باید به این نکته توجه داشت که آن‌ها به دو فاکتور دما و موقعیت (مختصات) بستگی دارند و از رابطه زیر به دست می‌آیند:

$$P_{eff}(T, \xi) = P_m(T)V_m(\xi) + P_c(T)V_c(\xi) \quad (2)$$

هر یک از مقادیر  $P_m$  و  $P_c$  از رابطه (۱) محاسبه می‌شوند. همچنین، منظور از  $V_m$ <sup>۱</sup> نسبت حجم فلز به حجم کل ماده و  $V_c$ <sup>۲</sup> نسبت حجم سرامیک به حجم کل ماده می‌باشد که با رابطه زیر به هم مربوط می‌شوند:

$$V_c = 1 - V_m \quad (3)$$

توابع  $V_m$  به فرم‌های مختلفی بیان می‌شوند. در این مقاله، از فرضیه ردی استفاده شده است [۲۱]:

$$V_m = \left( \frac{r}{b} \right)^N \quad (4)$$

که در آن  $b$  شعاع خارجی دیسک و  $N$  ثابتی است که بین صفر تا بی‌نهایت تغییر می‌کند. وقتی که مقدار آن صفر است، ماده کاملاً فلزی و وقتی که مقدار آن بی‌نهایت باشد، ماده کاملاً سرامیکی خواهد بود. در ضمن، لایه‌های داخلی دیسک از جنس سرامیک و لایه‌های خارجی آن از جنس فلز می‌باشند. قابل ذکر است که در این مقاله دو پارامتر ضربیت الاستیستیه و ضربیت انبساط خطی حرارتی، وابسته به دما و پارامترهای چگالی و ضربیت پواسون، مستقل از دما در نظر گرفته شده است.

#### ۳- معادلات حاکم بر دیسک دوار FGM

مسائل مهندسی زیادی وجود دارند که در آنها توزیع تنش حول یک محور متقارن می‌باشد از جمله این مسائل می‌توان دیسک دوار را نام برد. در این گونه مسائل، تنشها حول محور  $\zeta$  متقارن می‌باشند و مسئله به صورت تنش صفحه‌ای ( $\sigma_z = 0$ ) در نظر گرفته می‌شود.

<sup>۱</sup>-Metal Volume Fraction

<sup>۲</sup>-Ceramic Volume Fraction

جدول (۱)، مقادیر پارامترهای موجود در رابطه (۱۶) را مشخص می کند.

جدول (۱) پارامترهای مربوط به رابطه (۱۶)

$i$	$W_i(\xi_i)$	$\xi_i$
۱	۰/۵۵۵۵۵۵۵۵۶	۰/۷۷۴۵۹۶۶۶۹۲
۲	۰/۸۸۸۸۸۸۸۹	.
۳	۰/۵۵۵۵۵۵۵۵۶	-۰/۷۷۴۵۹۶۶۶۹۲

## ۵- اعمال شرایط مرزی و دمایی

شرایط مرزی هندسی و تنشی در اینجا به شکل عدم وجود فشار خارجی و در نتیجه صفر بودن تنششعاعی در لایه خارجی دیسک تعریف می شود. شرایط مرزی دیسک توپر نیز به صورت زیر است:

$$u = 0 \quad (r = 0) \quad (\text{به ازای}) \quad (1-17)$$

$$r = 0 \quad (r = r_0) \quad (\text{به ازای}) \quad (2-17)$$

برای تحقق این منظور با توجه به جمله اول از رابطه (۸) به صورت زیر عمل شده است:

$$\sigma_r^{(e)} = [B^{(e)}] \{U^{(e)}\} \quad (1-18)$$

$$[B^{(e)}] = \frac{E}{1-\nu^2} ([N]_{,r} + \frac{\nu}{r} [N]) \quad (2-18)$$

که در رابطه (۱۸)،  $[B^{(e)}]$  یک ماتریس با یک سطر و سه ستون می باشد.

حال با صفر قرار دادن مقدار تنششعاعی و جابه جایی، به ترتیب در المان های اول و آخر، می توان رابطه (۱۴) را به صورت زیر نوشت:

$$\begin{bmatrix} 1 & 0 & \dots & 0 & 0 & 0 \\ \vdots & [\bar{K}] & & \vdots & & \\ 0 & 0 & \dots & 0 & 0 & 0 \end{bmatrix} \begin{Bmatrix} \{U^{(1)}\} \\ \vdots \\ \{U^{(n)}\} \end{Bmatrix} = \begin{Bmatrix} 0 \\ \vdots \\ 0 \end{Bmatrix} \quad (19)$$

بدین ترتیب، مقادیر جابه جایی در المان ابتدا و انتهای دیسک با توجه به شرایط مرزی اعمال می گردند.

در این مقاله توزیع دما به صورت یک منحنی درجه دو فرض شده است:

$$T = (T_\infty - 40.0) \left( \frac{r}{b} \right)^2 + 40.0 \quad (20)$$

قابل ذکر است که برای حل معادلات فوق، یک کد کامپیوتری در محیط برنامه نویسی MATLAB نوشته شده است.

[N] ماتریس توابع شکل می باشد که برای المان های مرتبه دوم (با سه نقطه گره)، به صورت زیر می باشد [۲۳]:

$$[N] = \left[ \frac{1}{2} \xi^2 - \xi + 1, \xi^2 + \xi + 1, \frac{1}{2} \xi^2 - \xi - 1 \right] \quad (11)$$

که در آن،  $\xi$  مختص طبیعی بوده و محدوده تغییرات آن بین ۱ و -۱ می باشد. دلیل استفاده از این مختص، بهره گیری از روش انتگرال عددی گوس - لزاندر [۲۳] می باشد.

قابل ذکر است که المان ها به صورت یک بعدی بوده و بدین ترتیب، تعداد درجه آزادی هر نود، یک بوده و تنها در جهت شعاع دیسک می توانند جابجا شوند. علت انتخاب این گونه المان ها، وجود تقارن در مسئله می باشد.

فرم انتگرال مانده ها، در روش گالرکین به صورت زیر می باشد:

$$\int_{\Omega} [N]^T R d\Omega = 0 \quad (1-12)$$

$$R = \frac{d}{dr} \left\{ \frac{E}{1-\nu^2} ([N]_{,r} + \frac{\nu}{r} [N]) \{U^{(e)}\} - \frac{E}{1+\nu} (\alpha \Delta T) \right\} + \frac{E}{r(1+\nu)} ([N]_{,r} - \frac{1}{r} [N]) \{U^{(e)}\} + \rho \omega^2 r \quad (2-12)$$

بعد از مرتب سازی معادلات کلی، به رابطه اجزاء محدود زیر خواهیم رسید:

$$[K^{(e)}] \{U^{(e)}\} = \{f^{(e)}\} \quad (13)$$

که در رابطه (۱۳)، برای ماتریس های سختی و نیرو، خواهیم داشت:

$$[K^{(e)}] = \int_{\Omega} [N]^T \left\{ \frac{d}{dr} \left[ \frac{E}{1-\nu^2} ([N]_{,r} + \frac{\nu}{r} [N]) \right] \right\} d\Omega \quad (1-14)$$

$$+ \int_{\Omega} [N]^T \left\{ + \frac{E}{r(1+\nu)} ([N]_{,r} - \frac{1}{r} [N]) \right\} d\Omega$$

$$\{f^{(e)}\} = - \int_{\Omega} [N]^T \left\{ \rho \omega^2 r - \frac{d}{dr} \left( \frac{E}{1+\nu} (\alpha \Delta T) \right) \right\} d\Omega \quad (2-14)$$

مقادیر انتگرال روی حجم، به صورت زیر محاسبه می شوند:

$$\int_{\Omega} L(r, \xi) d\Omega = \int_{\Omega} 2\pi r h L(r, \xi) dr \quad (15)$$

$$= 2\pi h \int_{-1}^1 r L(r, \xi) \frac{\Delta r}{\Delta \xi} d\xi = \pi h \int_{-1}^1 r L(r, \xi) \frac{b}{n} d\xi$$

که در آن،  $h$  مقدار ضخامت و  $b$  شعاع خارجی دیسک است.

برای محاسبه انتگرال ها به روش زیر عمل می شود: [۲۳]

$$\int_{-1}^1 F(r, \xi) d\xi = \sum_{i=1}^3 W_i(\xi_i) F(\xi_i) \quad (1-16)$$

$$F(r, \xi) = r L(r, \xi) \quad (2-16)$$

تش شعاعی از جواب دقیق و از جواب کد در حالتی که  $N$  مساوی با صفر است، می‌توان از دقت جواب‌ها مطمئن شد.

در شکلهای (۴)، (۵) و (۶)، جابه‌جایی شعاعی، تنش شعاعی و محیطی برای توان‌های مختلفی ( $N$ ) از قانون توانی رسم شده است. در شکل‌های فوق، برای دیسک، سرعت زاویه‌ای ثابت  $900$  رادیان بر ثانیه، و اثر وابستگی خواص مواد به دما در نظر گرفته شده است. همان‌طور که در شکل (۴) مشاهده می‌شود، مقدار جابه‌جایی صفر در وسط دیسک توپر به دست آمده است که شرایط مرزی را ارضاء می‌کند. همچنین با افزایش مقدار  $N$ ، مقدار جابه‌جایی شعاعی کاهش می‌یابد. هر چه مقدار  $N$  بیشتر می‌گردد، جسم به سمت سرامیکی شدن می‌کند (این مطلب از معادله (۵) نیز قابل مشاهده است). و در نتیجه جسم سخت‌تر شده و مقدار جابه‌جایی شعاعی نیز، کمتر می‌گردد. در شکل (۵)، مقدار تنش شعاعی در لبه خارجی دیسک صفر محاسبه شده است که این مطلب نشان‌دهنده اراضی شرایط مرزی می‌باشد. مقدار تنش شعاعی ماکریم نیز در وسط دیسک اتفاق می‌افتد که منطقی به نظر می‌رسد [۲۲].

با افزایش  $N$ ، تنش شعاعی و محیطی نیز کاهش می‌یابد و این، بدان علت است که مقدار جابه‌جایی شعاعی برای  $N$ ‌های بزرگتر، کمتر بوده و تنش با جابه‌جایی شعاعی، طبق معادلات (۸)، رابطه مستقیم دارد.

در شکل های (۷) و (۸)، جابه جایی و تنش شعاعی برای سرعت های زاویه ای مختلف ( $\omega$ ) و توان  $N=1$  از قانون توانی، رسم شده است. در این قسمت نیز، خواص مواد به دما وابسته می باشند. با توجه به شکل های فوق، با افزایش مقدار سرعت زاویه ای، به این علت که مقدار جابه جایی شعاعی افزایش می باید، افزایش تنش شعاعی نیز، منطقی می باشد.

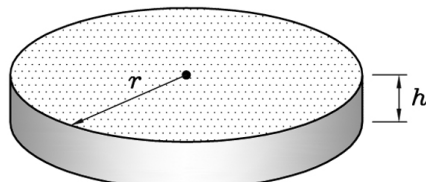
در شکل (۹)، تنش شعاعی به ازای  $N=1$  و سرعت زاویه‌ای ۹۰۰ رادیان بر ثانیه، برای دو حالت وابستگی و عدم وابستگی خواص مواد به دما آورده شده است. نتایج، نشان‌دهنده اختلافی در حدود ۵۰ درصد برای تنش‌های شعاعی می‌باشند که این موضوع اهمیت درنظر گرفتن وابستگی خواص مواد به دما را اثبات می‌کند.

۶- بحث بر روی نتایج

شکل (۱) نشان‌دهنده شکل هندسی دیسک توپر دوار می‌باشد. مقادیر ثوابت الاستیسیته، ضریب انبساط حرارتی خطی و چگالی برای مواد FGM به کار رفته در مثال عددی، در جدول (۳) آورده شده است. در این مثال، از ماده فولاد ضدزنگ، به عنوان فلز و از ماده زیرکونیا، به عنوان سرامیک استفاده گردیده است. در این مثال، شعاع خارجی و ضخامت دیسک، به ترتیب ۲۰۰ و ۵ میلیمتر در نظر گرفته شده است.

## جدول (۲) ثوابت مریوط به ماده FGM

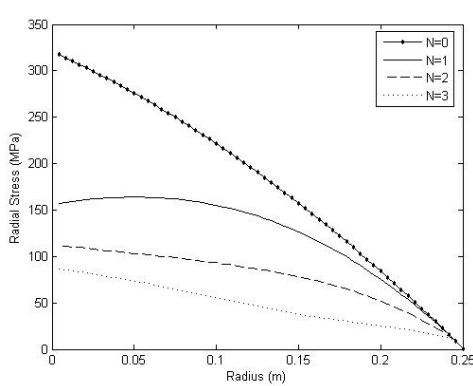
فلز (Stainless Steel)	سرامیک (Zirconia)	کمیت
۷۸۰۰	۵۷۰۰	$p(\frac{kg}{m^3})$
۲۰۱۰۴	۲۴۴۰۲۷	$E(GPa)$
۰/۳۳۶۲	۰/۲۸۸۲	$v$
۰/۰۰۰۱۲۳۳	۰/۰۰۰۱۲۷۶۵۷	$\alpha(v^/K)$
*	*	$P_{\gamma}(E,\alpha)$
۰/۰۰۰۳۰۷۹	-۰/۰۰۱۳۷۰۷	$P_1(E)$
-۰/۰۰۰۰۰۶۵۳	۰/۰۰۰۱۲۱۳۹۳	$P_T(E)$
*	-۰/۰۰۰۰۰۰۳۶۸	$P_T(E)$
۰/۰۰۰۸۰۸۶	-۰/۰۰۱۴۹	$P_1(\alpha)$
*	۰/۰۰۰۰۱	$P_T(\alpha)$
*	۰/۰۰۰۰۰۰۶۸	$P_T(\alpha)$



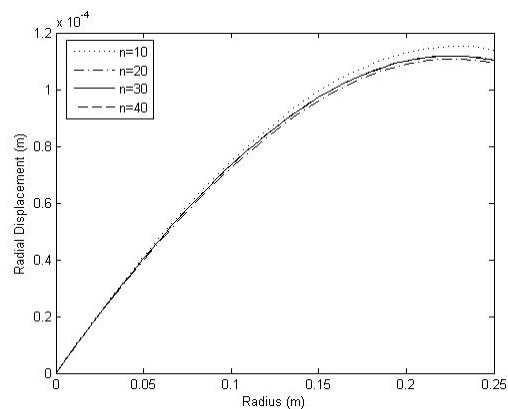
شکل (۱) شکل هندسی دیسک دور مورد بررسی

در ابتدا، نتایج مقادیر جابه‌جایی شعاعی در شکل (۲)، برای تعداد المان‌های متفاوت بررسی شده است. شکل فوق برای دیسک دواری با سرعت  $900$  رادیان بر ثانیه و همچنین به ازای مقدار  $N = 0$  می‌باشد. با توجه به همگرایی پاسخها، برای نتایج بعدی،  $30$  المان در نظر گرفته شده است.

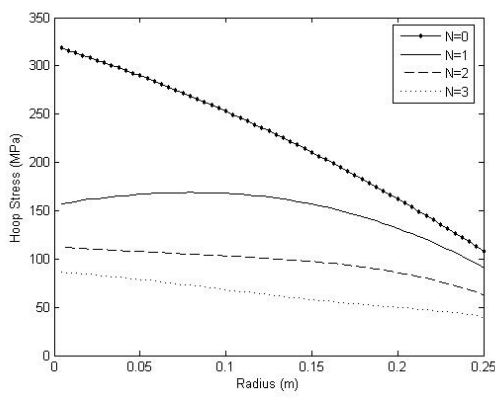
در شکل (۳)، نتایج این مقاله با نتایج مرجع [۲۲] مقایسه شده است. در حالتی که ماده کامپوزیتی نباشد، حل معادلات ساده شده و یک جواب دقیق به دست می‌آید [۲۲]. بدین ترتیب فرض شده است که در کد نوشته شده ماده کاملاً فلزی بوده و سرعت دورانی،  $900$  رادیان بر ثانیه است. حال با رسم



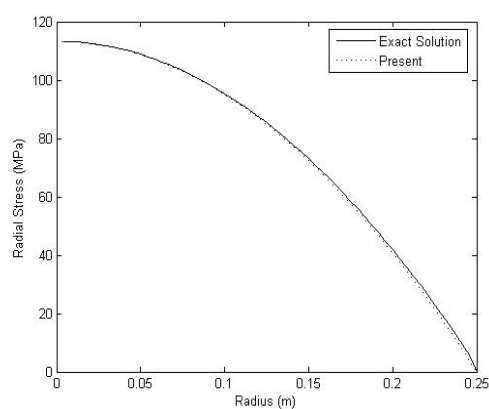
شکل (۵) تنش شعاعی بر حسب شعاع دیسک توپر برای  $N$  های مختلف  
به ازای سرعت زاویه‌ای ۹۰۰ رادیان بر ثانیه



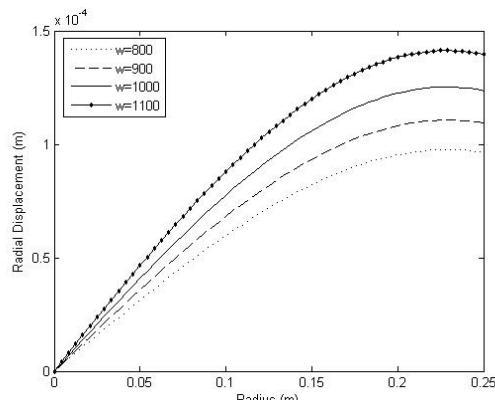
شکل (۲) جابه‌جایی شعاعی بر حسب شعاع دیسک توپر برای تعداد  
المان‌های متفاوت به ازای  $N = 0$



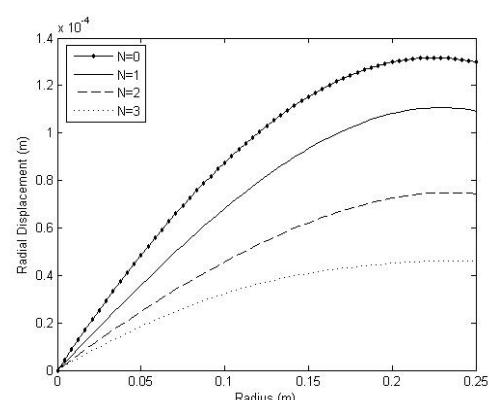
شکل (۶) تنش محیطی بر حسب شعاع دیسک توپر برای  $N$  های مختلف  
به ازای سرعت زاویه‌ای ۹۰۰ رادیان بر ثانیه



شکل (۳) تنش شعاعی بر حسب شعاع دیسک توپر برای ماده کاملاً فلزی  
به ازای سرعت زاویه‌ای ۹۰۰ رادیان بر ثانیه



شکل (۷) جابه‌جایی شعاعی بر حسب شعاع دیسک توپر برای  $w$  های  
مختلف به ازای  $N=1$

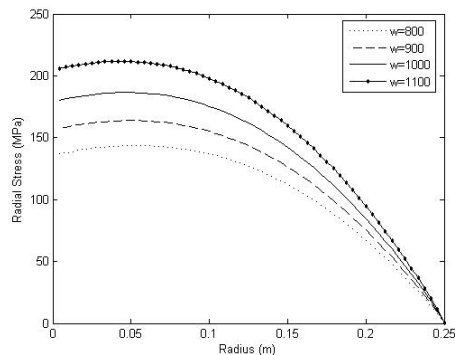


شکل (۴) جابه‌جایی شعاعی بر حسب شعاع دیسک توپر برای  $N$  های  
مختلف به ازای سرعت زاویه‌ای ۹۰۰ رادیان بر ثانیه

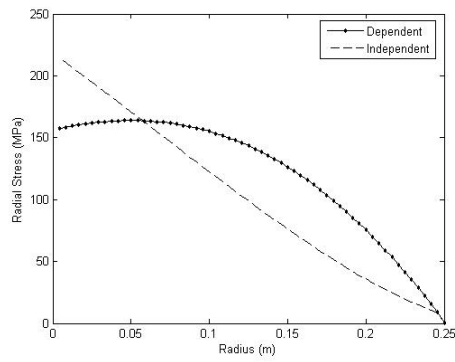
می‌یابند. نتایج نشان می‌دهد که خطای ناشی از درنظر نگرفتن وابستگی خواص مواد به دما، برای تنشهای شعاعی قابل ملاحظه است و این موضوع، بر لزوم بررسی تغییرات خواص مواد با دما، تأکید می‌نماید.

## ۸- فهرست علائم

$E$	مدول الاستیسیته، $Pa$
$N$	توان توزیع مواد
$[N]$	ماتریس توابع شکل
$P_c$	خواص وابسته به دمای سرامیک
$P_m$	خواص وابسته به دمای فلز
$P_o$	خصوصیات در دمای محیط
$P_{oc}$	خصوصیات سرامیک در دمای محیط
$P_{om}$	خصوصیات فلز در دمای محیط
$r_i$	شعاع داخلی، $m$
$r_o$	شعاع بیرونی، $m$
$T$	دما، $K$
$T_\infty$	دمای محیط، $K$
$u$	جابه‌جایی، $m$
$V_c$	کسر حجمی سرامیک
$V_m$	کسر حجمی فلز
$\alpha$	ضریب انبساط حرارتی، $\frac{1}{^{\circ}K}$
$\xi$	مختصات طبیعی
$\rho$	دانسیته، $\frac{kg}{m^3}$
$v$	ضریب پواسون
$\Omega$	سطح
$c$	سرامیک
$m$	فلز
$i$	سطح داخلی
$o$	سطح بیرونی



شکل (۸) تنش شعاعی بر حسب شعاع دیسک توپر برای  $w$  های مختلف به ازای  $N=1$



شکل (۹) تنش شعاعی بر حسب شعاع دیسک توپر برای دو حالت وابستگی و عدم وابستگی خواص مواد به دما

## ۷- نتیجه‌گیری

در این مقاله تحلیل غیرخطی تنش‌های ترمومالاستیک شعاعی و محیطی یک دیسک دور از جنس مواد FGM و با استفاده از روش اجزاء محدود انجام شده است. دیسک فوق با به کارگیری از المان‌های یک بعدی مرتبه دو (با سه نقطه گره) مشبndی شده است. شرایط مرزی هندسی و تنشی، به شکل عدم وجود فشار خارجی در لایه بیرونی دیسک، و جابه‌جایی صفر در مرکز آن تعریف می‌شود. تغییرات دما نیز به صورت یک منحنی درجه دو درنظر گرفته شده است. تغییرات خواص مواد، شامل مدول الاستیسیته، ضریب پواسون و ضریب انبساط خطی حرارتی، با استفاده از تابعی توانی بر حسب تغییرات شعاع دیسک و با توجه به وابستگی آن‌ها به دما، مدل شده‌اند. نتایج و نمودارهای حاصل از مثال عددی ارائه شده، نشان می‌دهند که با افزایش پارامتر توان ( $N$ ) قانون توانی، جابه‌جایی شعاعی، تنش‌های شعاعی و محیطی، کاهش و با افزایش سرعت زاویه‌ای دیسک، مقادیر فوق افزایش

## مراجع

- [۱۰] Chen W.Q., Lee K.Y., Stresses in rotating cross-ply laminated hollow cylinders with arbitrary axial, *J. Strain Analysis*, Vol. ۳۹, ۲۰۰۴, pp. ۴۳۷–۴۴۵
- [۱۱] Mian M.A, Spencer A.J.M., Exact solutions for functionally graded and laminated elastic materials, *J. Solid Mechanics*, Vol. ۴۶, ۱۹۹۸, pp. ۲۲۸۳–۹۵.
- [۱۲] Chen J., Ding H., Chen W., Three-dimensional analytical solution for a rotating disc of functionally graded materials with transverse isotropy, *J. Applied Mechanics*, Vol. ۷۷, ۲۰۰۷, pp. ۲۴۱–۲۵۱.
- [۱۳] Hosseini Kordkheili S.A., Naghdabadi R., Thermoelastic analysis of a functionally graded rotating disk, *J. Composite Structures*, Vol. ۷۹, ۲۰۰۷, pp. ۵۰۸–۵۱۶.
- [۱۴] Zenkour A.M., Stress distribution in rotating composite structures of functionally graded solid disks, *J. Materials Processing Technology*, Vol. ۲۰۹(Y), ۲۰۰۹, pp. ۳۵۱۱–۱۷.
- [۱۵] Bayat M., Sahari B.B., Saleem M., Ali A., Wong S.V., Thermoelastic solution of a functionally graded variable thickness rotating disk with bending based on the first-order shear deformation theory, *J. Thin-walled Structure*, Vol. ۴۷, Issue ۵, ۲۰۰۹, Pages ۵۶۸–۵۸۲.
- [۱۶] Reddy J.N., Chin C.D., Thermomechanical analysis of functionally graded cylinders and plates, *J. Thermal Stresses*, Vol. ۲۱, ۱۹۹۸, pp. ۵۹۳–۶۲۶.
- [۱۷] Budynas R.G., Advanced Strength And Applied Stress Analysis, McGraw-Hill Kogakusha, Ltd., Tokyo, ۱۹۷۷.
- [۱۸] T.J.R. Hughes, The Finite Element Method, Prentice-Hall International Inc., ۱۹۸۷.
- [۱۹] Suresh S., Mortensen A., Fundamental of Functionally Graded Materials, Barnes and Noble Pub, ۱۹۹۸.
- [۲۰] Koizumi M., Nino M., Overview of FGM research in Japan, *MRS Bulletin*, Vol. ۲۰, ۱۹۹۵, pp. ۱۹–۲۱.
- [۲۱] Kaysser W.A., Ilschner B., FGM research activities in Europe, *MRS Bulletin*, Vol. ۲۰, ۱۹۹۵, pp. ۲۲–۲۶.
- [۲۲] Research on the basic technology for the development of functionally graded materials for relaxation of thermal stress, Science on Technology Agency of Japanese Government Report, ۱۹۸۷.
- [۲۳] Timoshenko S.P., Goodier J.N., Theory of Elasticity, McGraw-Hill, New York, ۱۹۸۷
- [۲۴] Lekhnitskii S.G. , Anisotropic Plates, Gordon and Breach, London, ۱۹۶۸.
- [۲۵] Seireg A., Surana K.S., Optimum design of rotating disks, *J. Engineering*, Vol. ۹۲, ۱۹۷۰, pp. ۱–۱۰.
- [۲۶] Murthy D.N.S., Sherbourne A.N., Elastic stresses in anisotropic disks of variable axial, *J. Mechanical Science*, Vol. ۱۲, ۱۹۷۰, pp. ۶۲۷–۶۴۰.
- [۲۷] Yeh K.Y., Han R.P.S., Analysis of high-speed rotating disks with variable axial and inhomogeneity, *J. Applied Mechanics*, Vol. ۹۱, ۱۹۹۴, pp. ۱۸۶–۱۹۱.
- [۲۸] Leissa A.W., Vagins M., The design of orthotropic materials for stress optimization, *J. Solids Structures*, Vol. ۱۴, ۱۹۷۸, pp. ۵۱۷–۵۲۶.
- [۲۹] Jain R., Ramachandra K., Simha K.R.Y., Rotating anisotropic disc of uniform strength, *J. Mechanical Science*, Vol. ۴۱, ۱۹۹۹, pp. ۶۳۹–۶۴۸.
- [۳۰] Jain R., Ramachandra K., Simha K.R.Y., Singularity in rotating orthotropic discs and shells, *J. Solids Structures*, Vol. ۳۷, ۲۰۰۰, pp. ۲۰۳۵–۲۰۵۸
- [۳۱] Zhou F., Ogawa A., Elastic solutions for a solid rotating disk with cubic anisotropy, *J. Applied Mechanics*, Vol. ۶۹, ۲۰۰۲, pp. ۸۱–۸۳
- [۳۲] Ramu S.A., Iyengar K.J., Quasi-three dimensional elastic stresses in rotating disks, *J. Mechanical Science*, Vol. ۱۷, ۱۹۷۴, pp. ۴۷۳–۴۷۷